

## 카올린으로부터 Si-Al 탄화물의 합성 및 $\text{Si}_3\text{N}_4$ 결합 소결 특성

백용혁 · 김영구 · 한 창 · 권양호

전남대학교 무기재료공학과

(1991년 6월 17일 접수)

### Synthesis of Si-Al Carbonates from Kaolin and Sintering Characteristics by Reaction Bonding $\text{Si}_3\text{N}_4$

Yong-Hyuck Baik, Young-Ku Kim, Chang Han and Yang-Ho Kwon

Dept. of Inorganic Materials Eng. Chonnam National Univ.

(Received June 17, 1991)

#### 요약

본 연구는 kaolin을 1300~1750°C에서 탄화시켜, 온도변화에 따른 구성 광물의 변화를 구명한 후 1650°C에서 탄화된 kaolin 탄화물에 금속규소를 혼합, 성형하고  $\text{N}_2\text{-NH}_3$  분위기에서 1350°C로 질화하였다. 제조된 시편의 물성은 기공율, 부피비중, 꺾임강도, 질화율 및 산화저항성을 측정하였으며 광물상의 변화는 X-선 회절분석으로 확인하였다. 얻어진 결과는 다음과 같다.

- 1)  $\beta\text{-SiC}$ 는 1500°C에서 생성되며 반응온도의 상승에 따라 1700°C까지 계속 증가하였다.
- 2)  $\beta\text{-SiC}$ 와  $\alpha\text{-Al}_2\text{O}_3$ 의 양은 1600°C에서 mullite가 급격히 분해되면서 크게 증가하였다.
- 3) kaolin에 alkali를 첨가하므로서 mullite의 분해온도가 약 100°C 낮아졌으나  $\alpha\text{-SiC}$ 가 증가하고 있다.
- 4) 질화반응에서 금속규소 35 wt%인 시료에서 질화율과 꺾임강도가 가장 우수하였다.
- 5) 질화반응에서 kaolin 탄화물에 존재하였던  $\text{Al}_4\text{SiC}_4$ 가 분해되어  $\alpha\text{-Si}_3\text{N}_4$ 와  $\alpha\text{-Al}_2\text{O}_3$ 가 생성된 것으로 생각된다.
- 6)  $\text{Si}_3\text{N}_4$  결합  $\text{SiC-Al}_2\text{O}_3$  복합체를 kaolin으로부터 비교적 저온(1350°C)에서 제조할 수 있었다.

#### ABSTRACT

In this study, Kaolin was carbonized at 1300~1750°C and its constituent mineral change was investigated. Carbonized kaolin at 1650°C was mixed with metallic silicon, formed and nitrified at 1350°C in  $\text{N}_2\text{-NH}_3$  atmosphere. Properties of this product such as porosity, bulk density, MOR, nitration rate and oxidation resistance were measured, and its mineralogical changes were investigated by XRD. The results were as follows;

- 1)  $\beta\text{-SiC}$  was initially synthesized at 1500°C, and its amount was continuously increased with reaction temperature to 1700°C.
- 2) At 1600°C, mullite was rapidly decomposed and the amounts of  $\beta\text{-SiC}$  and  $\alpha\text{-Al}_2\text{O}_3$  were increased simultaneously.
- 3) By adding alkali to kaolin, the decomposition temperature of mullite was dropped approximately 100°C, but the amount of  $\alpha\text{-SiC}$  was increased.
- 4) The highest values of their nitration rate and MOR were obtained at the specimen of 35 wt% metallic silicon in nitration reaction.
- 5) It seems that increment of  $\alpha\text{-Si}_3\text{N}_4$  and  $\alpha\text{-Al}_2\text{O}_3$  phase during nitration was due to the decomposition of  $\text{Al}_4\text{SiC}_4$  existed in carbonized kaolin.
- 6)  $\text{Si}_3\text{N}_4$  bonded  $\text{SiC-Al}_2\text{O}_3$  composite were fabricated from kaolin at relatively low temperature (1350°C).

#### 1. 서 론

무기재료로서 고온에서 사용되는 구조물의 내열재료로 각광을 받고 있는 재료들이다<sup>1~4)</sup>. 특히  $\text{SiC}$ 는 내열성, 내침식성, 내마모성이 우수하고 열전도도가 크므로 근년

최근 우수한 재료로 알려진  $\text{SiC}$ 와  $\text{Si}_3\text{N}_4$ 는 공유결합성

이 특성을 이용한 고온재료로의 개발이 활발하게 진행되고 있다.

SiC 분말의 합성에는 silica 환원탄화법에 의한  $\alpha$ -SiC 합성, 금속규소의 탄화에 의한  $\beta$ -SiC 합성 등 여러가지 방법이 알려져 있다. SiC는 공유결합성이 강하여 소결성이 낮으므로 SiC단의 치밀한 소결체를 얻기가 곤란하다. 그러므로 SiC 소결에는 각종 소결 조제를 소량 첨가하므로 소결성을 촉진시키는 방법이 많이 연구되고 있으나<sup>5~12)</sup> 고온강도, 내마모성, 내열충격성 및 내부식성이 가장 좋은 것은  $\text{Si}_3\text{N}_4$  결합 SiC로 알려져 있다<sup>13,14)</sup>.  $\text{Si}_3\text{N}_4$  결합 SiC는 SiC 분말에 적당량의 규소를 혼합하여 가압성형한 후 질소분위기 하에서 1200~1450°C로 가열하여 제조하고 있다<sup>15,16)</sup>.

$\text{Si}_3\text{N}_4$ 에는 저온형인  $\alpha$ - $\text{Si}_3\text{N}_4$ 와 고온형인  $\beta$ - $\text{Si}_3\text{N}_4$ 가 있다.  $\alpha$ - $\text{Si}_3\text{N}_4$  결정은 거의 이론강도에 가까운 고강도의 whisker상이고  $\beta$ - $\text{Si}_3\text{N}_4$ 는 입자상 또는 spike상을 나타내고 있다. 그러므로 규소 분말이 질소가스와 반응하여  $\text{Si}_3\text{N}_4$ 가 생성될 때 whisker상인  $\alpha$ - $\text{Si}_3\text{N}_4$ 가 많이 생성되면 이들이 서로 미세하게 interlocking되어 주위의 SiC 입자들을 강하게 결합시켜 강도를 나타내게 되므로<sup>17,18)</sup>  $\text{Si}_3\text{N}_4$  결합 SiC 재료의 특성은 질화과정 중의 미세구조 변화와 질화 정도에 큰 영향을 받게 된다. 일반적으로 금속규소는 입자표면에 두께 3 nm의 native silica film이 존재하고 있으므로<sup>4)</sup> 질화반응의 저해요인이 되고 있으나  $\text{Al}_2\text{O}_3$ ,  $\text{Fe}_2\text{O}_3$  등을 첨가시키면 액상인  $\text{FeSi}_2$ 가 생성되면서 금속 규소표면의  $\text{SiO}_2$  film을 가열 중에  $\text{SiO}$ 로 변화시키거나 회발시켜 질화반응을 촉진시킬 수 있다<sup>21,22)</sup>. 그러나 이때 생성된 액상이 계면에 존재하게 되면 강도는 다소 저하되는 경향이 있다.

한편 질화반응에 사용된 질소가스에도 수증기, 수소 또는 산소 등의 가스가 혼합되어 있으면 질화반응에 영향을<sup>21~24)</sup> 미치게 된다. 특히 수소가스는 질화반응 초기단계에서 산소의 분압을 저하시켜<sup>24)</sup>  $\text{SiO}$ 의 생성을 촉진하므로  $\alpha$ - $\text{Si}_3\text{N}_4$ 를 만들게 된다<sup>17~24)</sup>.

본 연구에서는 경남 산청지방의 매장량이 풍부한 kaolin을 1300~1750°C에서 환원, 탄화시킬 때 최적 탄화조건을 구명한 후 합성된 kaolin 탄화물에 금속규소를 혼합 성형하여 질소-암모니아가스 분위기에서 질화반응시켜 시편을 제조하였다. 제조된 시편에 대하여 물성을 측정하므로써 매장량이 풍부한 자연산 kaolin으로부터 화학적으로 종성인 복합재료의 제조 가능성을 검토하여 보았다.

## 2. 실험방법

본 연구에서는 우선 kaolin을 탄화시킬 때 합성되는 구성 광물의 생성경향을 검토하므로써  $\text{Si}_3\text{N}_4$  결합 SiC 소결에 사용될 SiC의 최적 합성조건을 구명한 후, 이때 합성된 SiC와  $\text{Al}_2\text{O}_3$  혼합물을  $\text{Si}_3\text{N}_4$ 로 반응결합하여 그 물성을 측정하였다.

### 2.1. 사용 원료

본 연구에서 탄화반응에 사용한 kaolin은 경남지방에서 산출된 것이며 ball-mill에서 습식으로 분쇄하여 170 mesh 통과분을 사용하였다. 이때 170 mesh상의 잔량은 약 3%이었으며 평균입경이 15.8  $\mu\text{m}$ , 최대 입경이 54  $\mu\text{m}$ 이고 5  $\mu\text{m}$  이하의 입자는 거의 없었다.

미분된 kaolin의 화학조성은  $\text{SiO}_2$ 가 48.56%,  $\text{Al}_2\text{O}_3$ 가 34.34%이고  $\text{Fe}_2\text{O}_3$ 는 1.58%로 비교적 적은 편이었으며 그의 불순물로는  $\text{CaO}$ ,  $\text{MgO}$ ,  $\text{Na}_2\text{O}$ ,  $\text{K}_2\text{O}$  및  $\text{TiO}_2$  등이 약 3.16% 포함되어 있었다.

X-선 회절분석 결과를 보면  $\alpha$ -quartz가 소량 혼재하였으며 극소량의 feldspar group도 확인되었다.

탄소 공급원으로 사용된 carbon black은 평균입경이 0.8  $\mu\text{m}$ 이었으며 순도는 96%, ash가 0.07%, 휘발분이 4.11%이었다.

질화반응 결합에 사용된 금속규소는 순도 96.14%, 평균입경이 20  $\mu\text{m}$ 이었으며 불순물로는 SiC 0.43%, Fe 1.0%, free carbon 2.43%가 포함되어 있었다.

### 2.2. Kaolin의 탄화 및 구성 광물

탄화반응에 사용한 kaolin은 자연산 kaolin과 kaolin 중의  $\text{Fe}_2\text{O}_3$  성분을 제거하기 위하여 35% HCl로 75°C에서 3시간 처리한 산처리 kaolin을 사용하였으며, 또한  $\text{K}_2\text{CO}_3$ 와  $\text{Na}_2\text{CO}_3$ 를 1:1로 혼합, kaolin양의 5 wt%를 첨가하여 kaolin의 탄화반응 중에 생성된 mullite의 분해온도와  $\beta$ -SiC의 합성에 미치는 영향도 검토하였다. 탄화반응의 탄소공급원으로 사용한 carbon black의 첨가량은 kaolin의 화학조성 중  $\text{SiO}_2$ 와  $\text{Al}_2\text{O}_3$ 의 환원반응 및 탄화물 생성에 필요한 양을 계산, 첨가하였으며 methyl alchol 중에서 충분히 혼합한 후 약 60°C에서 완전히 전조하였다. 전조된 혼합물은 성형조제로 3% PVA 용액을 첨가하여 8×6×30 mm인 각주형으로 성형하였으며 이때 성형압은 700 kg/cm<sup>2</sup>로 하였다.

성형된 시편들은 코크스분말이 들어있는 도가니에 묻고 뚜껑을 덮은 후 전기로내에서 탄화반응시켰으며, 이때 탄화반응온도는 1300°C에서 1750°C까지 50~100°C 잔격으로 하였으며, 승온속도는 4°C/min로 행하였다.

각 최고 온도에서 유지시간은 3시간으로 하였고 냉

작은 전기로내에서 자연냉각하였다.

미반응 carbon의 제거는 탄화반응된 시편을 분쇄한 후 alumina 도가니에 넣고 전기로에서 650°C, 2시간 가열하였다. 탄화반응된 시편의 온도변화에 따른  $\beta\text{-SiC}$ 의 합성경향과 그의 생성물들의 생성, 증가 및 감소되는 경향을 X-선 회절분석으로 비교하였다.

### 2.3. 시편 제조 및 질화반응

$\text{Si}_3\text{N}_4$  반응결합 SiC 소결체에 사용할 kaolin 탄화물로는  $\alpha\text{-SiC}$ 보다  $\beta\text{-SiC}$ 의 생성이 많은 것이 필요하다고 생각되어 이 조건에 적합한 kaolin 탄화물을 택하여 사용하였다.

시료의 조합은 kaolin 탄화물에 금속규소를 무게비로 20~50 wt%의 범위에서 5 wt% 간격으로 혼합한 후 methyl alchol 중에서 혼합한 후 건조하였다. 성형은 전조된 분말에 3%의 PVA 용액을 성형조제로 첨가한 후 5×8×30 mm인 각주형으로 하였으며 이때 성형압은 1000 kg/cm<sup>2</sup>으로 하였다. 질화반응은 siliconite를 발열체로 하는 판상 전기로에 alumina관을 설치하고 그 안 중심부에 시편을 놓고 열전대를 설치하였다. 시편들과 alumina관과의 접촉을 피하기 위해 alumina질 판위에  $\text{Si}_3\text{N}_4$  분말을 깔고 그 위에 시편을 놓았다. 승온속도는 금속규소를 질화반응시킬 때 시편 내부의 온도가 노내의 재이된 온도보다 높아지게 되므로 질화반응온도 및 유지시간의 조절은 다음과 같이 계단 질화방법으로 행하였다. 즉, 상온에서 800°C까지는 4°C/min으로 승온한 후 30분간 유지하였으며 이후 3°C/min으로 1150°C까지 승온하여 3시간 유지하였다. 1150°C 이상 1250°C, 1300°C 및 1350°C까지는 1°C/min으로 승온하였으며 이때 각 온도에서의 유지시간은 1250°C에서 4시간, 1300°C에서 5시간 및 1350°C에서 6시간 반응시킨 후 로내에서 자연냉각하였다.

질화반응에 사용한 가스는 시중에서 판매되고 있는 고순도의 암모니아가스와 질소가스를 silica gel을 통과시켜 사용하였으며 상온에서 800°C까지는 암모니아가스를 200 ml/min로 넣은 후 800°C부터 질소가스를 100 ml/min로 추가 공급하였다. 또한 최고 반응온도에서 상온으로 냉각될 때까지도 가열될 때와 마찬가지로 혼합가스를 계속 공급하였다.

### 2.4. 물성 측정

#### 2.4.1. 기공율 및 꺾임강도

Kaolin 탄화물과 금속규소의 혼합물을 1350°C에서 질화반응시킨 후 시편의 기공율 및 부피비중 측정은 KSL-3114에 의하여, 꺾임강도는 3 point bending 방법으로

상온에서 측정하였으며 이때 span의 길이는 20 mm로 하였다. 나타낸 측정값은 시편 5개를 측정하여 그 평균값으로 하였다.

#### 2.4.2. 질화율

3 mole의 금속규소가 질소가스와 반응하여 1 mole의  $\text{Si}_3\text{N}_4$ 를 생성하면 66.7%의 무게증가가 일어나게 되므로 이 무게의 증가는 질화반응의 정도를 측정할 수 있는 척도가 될 수 있다. 본 연구에서 질화율 측정은 시편에 혼합된 규소가  $\text{Si}_3\text{N}_4$ 로 질화되었을 때 무게의 증가를 계산하여 그 결과를 나타내었다. 이때 kaolin 탄화물의 반응(무게변화)은 없는 것으로 가정하였다.

#### 2.4.3. X-선 회절분석

Kaolin 탄화물에 금속규소를 무게비로 20%에서 5% 간격으로 50%까지 혼합한 후 1350°C에서 질화반응하였을 때 kaolin 탄화물에서 구성 광물상들의 변화와, 규소첨가량 변화에 따른 광물상들의 생성 경향 및  $\text{Si}_3\text{N}_4$ 의  $\alpha$ ,  $\beta$ 상의 변화 등을 X-선 회절분석으로 확인한 후 각 광물상들의 평균 peak intensity 높이를 비교하여 보았다.

## 3. 결과 및 고찰

### 3.1. Kaolin의 탄화

#### 3.1.1. Raw kaolin의 탄화

Raw kaolin에 carbon black을 혼합하여 1300~1750°C에서 탄화반응시킨 후 X-선 회절분석을 행하여 탄화반응 온도변화에 따른 광물상들의 변화를 Fig. 1에 나타내었다.

Fig. 1의 결과를 보면 1300°C에서는 mullite가 주광물로 나타나며 이외에  $\alpha\text{-cristobalite}$ 도 나타나고 있다. 1400°C에서는 1300°C에서 존재하였던  $\alpha\text{-cristobalite}$ 가 없어지고 mullite peak만이 크게 증가하였다. 이는 mullite 외의  $\text{SiO}_2$  성분이  $\text{Fe}_2\text{O}_3$ ,  $\text{CaO}$  및  $\text{K}_2\text{O}$  등 불순물과 반응하여 glass상으로 되었기 때문이라 생각된다. 1500°C에서도 mullite는 크게 증가하고 있었으나  $\beta\text{-SiC}$  (111)면의 peak가 20° 35.5°에서 나타나기 시작하였다. 1600°C가 되면 1500°C에서 크게 증가하였던 mullite는 급격히 감소되고  $\beta\text{-SiC}$ 가 크게 증가하고 있으며  $\alpha\text{-Al}_2\text{O}_3$ 과  $\text{Al}_4\text{SiC}_4$  (27H)도 생성되고 있다. 그러나 확인이 곤란한 peak도 20° 19.2°, 45.2°에서 나타나고 있다. 1650°C에서 mullite는 거의 분해되어 없어지고  $\alpha\text{-Al}_2\text{O}_3$ 도 크게 감소되었으며  $\beta\text{-SiC}$ 와  $\text{Al}_4\text{SiC}_4$ (27H) 및 미지의 peak만이 크게 증가하고 있다.

1700°C가 되면  $\beta\text{-SiC}$ 는 계속 크게 증가하고 있으며  $\text{Al}_4\text{SiC}_4$ 는 27H type에서 B type으로 변하고 있다. 1750

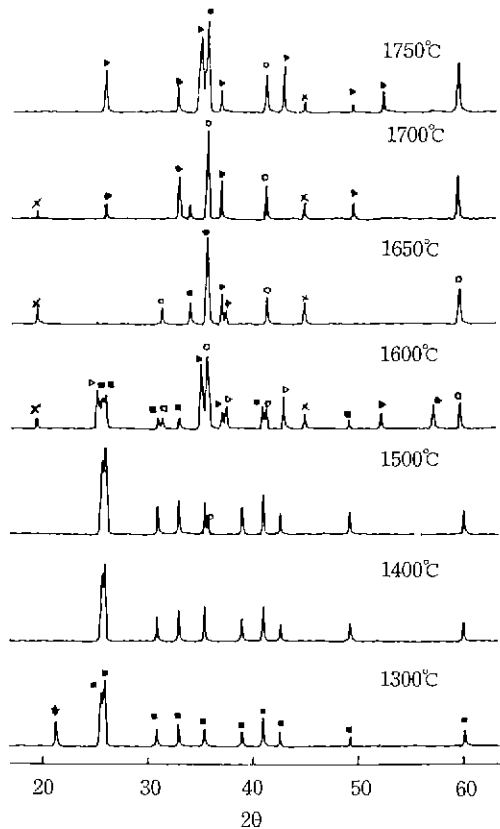


Fig. 1. X-ray diffraction patterns of raw kaolin and carbon black mixture, heated at 1300~1750°C (○:  $\beta$ -SiC, ■: mullite, □:  $\text{Al}_4\text{SiC}_4$  (27H), △:  $\alpha$ - $\text{Al}_2\text{O}_3$ , ×: unknown, ▲:  $\text{Al}_4\text{SiC}_4$  (B), \*:  $\alpha$ -cristobalite).

°C에서  $\beta$ -SiC는 계속 증가하고 있으나  $\text{Al}_4\text{SiC}_4$ (B)가 크게 감소하면서  $\alpha$ - $\text{Al}_2\text{O}_3$ 는 다시 생성되고 있다.

### 3.1.2. Kaolin 탄화에 미치는 산처리의 영향

Kaolin을 HCl로 처리하여  $\text{Fe}_2\text{O}_3$ 를 제거하고 1700~1750°C에서 탄화반응시켰을 때 생성광물상의 변화를 raw kaolin 탄화물과 비교하여 Fig. 2에 나타내었다.

Fig. 2에서 보면 1700°C에서는 raw kaolin 탄화물의 경우  $\alpha$ - $\text{Al}_2\text{O}_3$ 와  $\alpha$ -SiC가 생성되지 않았으나 산처리 kaolin에서는  $\alpha$ - $\text{Al}_2\text{O}_3$ 와  $\alpha$ -SiC가 생성되고 있으며  $\beta$ -SiC는 다소 감소하고 있다. 1750°C에서도  $\beta$ -SiC는 계속 감소되고  $\text{Al}_4\text{SiC}_4$ 는 완전히 소멸되었으나  $\alpha$ - $\text{Al}_2\text{O}_3$ 와  $\alpha$ -SiC는 계속 증가되고 있다. 즉 산처리 kaolin이 탄화될 때  $\beta$ -SiC는 감소되면서  $\alpha$ -SiC가 생성되었으며  $\text{Al}_4\text{SiC}_4$ 는 분해되었다. 또한  $\alpha$ - $\text{Al}_2\text{O}_3$ 가 크게 증가되는 것으로 보아 탄화반응온도가 낮아지는 것으로 생각된다.

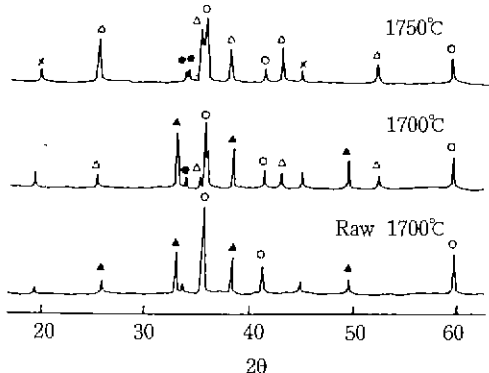


Fig. 2. X-ray diffraction patterns of acid treated kaolin and carbon black mixture, heated at 1700~1750 °C (○:  $\beta$ -SiC, ●:  $\alpha$ -SiC, △:  $\alpha$ - $\text{Al}_2\text{O}_3$ , ×: unknown, ▲:  $\text{Al}_4\text{SiC}_4$  (B)).

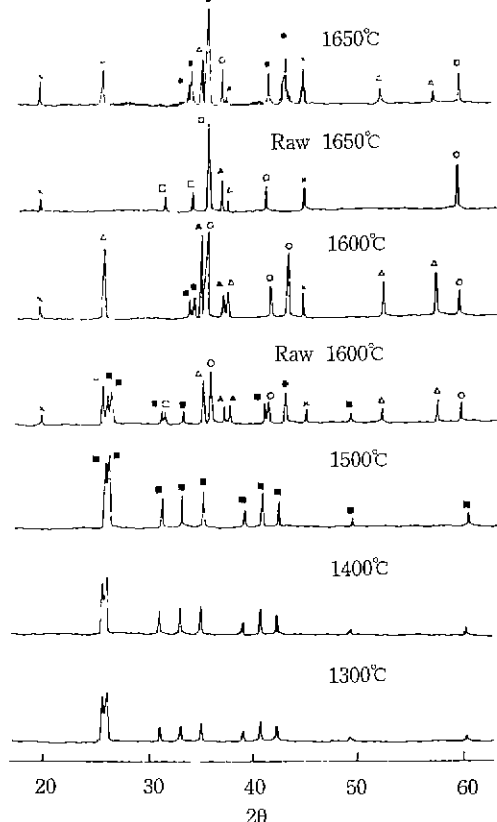


Fig. 3. X-ray diffraction patterns of alkali added kaolin, heated at 1300~1650°C (○:  $\beta$ -SiC, ●:  $\alpha$ -SiC, ■: mullite, △:  $\alpha$ - $\text{Al}_2\text{O}_3$ , ×: unknown).

### 3.1.3. Kaolin 탄화에 미치는 alkali의 영향

Raw kaolin의 탄화반응에서 mullite는 반응 온도상승에 따라 1500°C까지 계속 증가한 후 1600°C부터 분해되기 시작했다. 이때 mullite가 분해되면서  $\beta$ -SiC의 양은 크게 증가되며 또한  $\alpha$ - $\text{Al}_2\text{O}_3$ 와  $\text{Al}_4\text{SiC}_4$ 도 동시에 생성되고 있다. 그러므로 mullite를 보다 저온에서 분해시키므로써 저온에서의  $\beta$ -SiC 합성을 촉진할 목적으로 kaolin에  $\text{K}_2\text{CO}_3$ 와  $\text{Na}_2\text{CO}_3$ 를 혼합하여 탄화반응시킨 후 X-선 회절분석을 행하여 그 결과를 Fig. 3에 나타내었다.

Fig. 3에서 보면 mullite는 1500°C까지 증가한 후 1600°C로 되면 완전히 분해되고  $\beta$ -SiC,  $\alpha$ -SiC가 공존하며 일부  $\alpha$ - $\text{Al}_2\text{O}_3$ 도 생성되고 있다. 1650°C로 되면  $\alpha$ - $\text{Al}_2\text{O}_3$ 는 급격히 감소되며  $\alpha$ -SiC가 증가되고 있다. 즉 kaolin에 alkali를 첨가함으로써 mullite의 분해온도가 약 100°C 저하되었으며 또한 SiC의 고온형이 나타나게 된 것은 alkali 첨가로 인하여 고온에서 액상생성이 촉진되었기 때문이라 생각된다.

## 3.2. 질화반응

### 3.2.1. 기공율, 부피비중 및 꺾임강도

Kaolin 탄화물과 금속규소의 혼합물을 1350°C에서 질화반응 소결하였을 때 금속규소의 첨가량 변화에 따른 소결성의 변화를 확인하기 위하여 기공율, 부피비중 및 꺾임강도를 측정하여 그 결과를 Fig. 4 및 5에 각각 나타내었다.

Fig. 4에서 보면 금속규소의 첨가량이 35 wt%일 때

기공율은 가장 낮고 부피비중은 가장 크게 나타나고 있으나 첨가량이 더 증가하게 되면 기공율이 다시 증가하고 부피비중은 감소하고 있다.

또한 Fig. 5에서 보면 금속규소의 첨가량이 35 wt%일 때 477 kg/cm<sup>2</sup>의 가장 높은 강도를 나타낸 후 그 이상 첨가량이 증가되면 강도는 낮아지고 있다.

이를 Fig. 4의 결과와 비교하여 보면 금속규소 0~35 wt%의 첨가범위에서 규소량이 적을수록 기공율이 크고 꺾임강도가 낮은 것은 규소의 함량이 적을경우 질화반응시에 생성된  $\text{Si}_3\text{N}_4$ 의 양이 kaolin 탄화물의 양에 비해 상대적으로 적으므로 입자간의 결합력이 약하기 때문이라 생각된다. 규소의 첨가량이 35 wt% 이상인 범위에서는 시편 표면부에서 규소의 질화반응이 급격히 일어나 시편내부에서의 질화반응을 억제하게 되므로 기공율은 증가하고 강도는 낮아지는 것으로 생각된다.

### 3.2.2. 질화율

Kaolin 탄화물에 금속규소를 20~50 wt%까지 첨가, 1350°C에서 질화반응시킨 후 금속규소가  $\text{Si}_3\text{N}_4$ 로 질화되었을 때 무게의 증가를 계산하여 그 결과를 Fig. 6에 나타내었다.

Fig. 6에서 금속규소의 첨가량 변화에 따른 질화율의 변화를 보면 금속규소의 첨가량이 0~35 wt% 범위에서는 금속규소의 첨가량 증가에 따라 질화율도 증가하여 규소 35 wt%일 때 100%로 되나 그 이상에서는 반대로 감소하고 있다. 이는 Fig. 5의 꺾임강도의 경향과 일치하고 있으며 질화율 역시 규소량이 35 wt% 이상이 되면 시편 표면부에서 질화반응이 급격히 일어나 시편내부의 질화반응을 억제하는 것으로 생각된다.

즉 금속규소의 첨가량이 증가하게 되면 시편표면부에

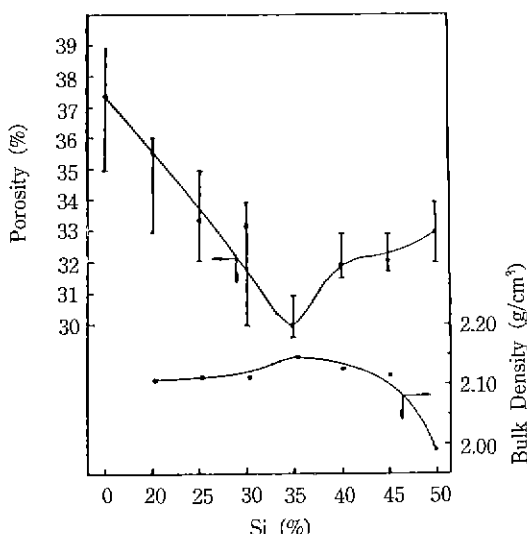


Fig. 4. Porosity and bulk density curves for the nitrified specimens.

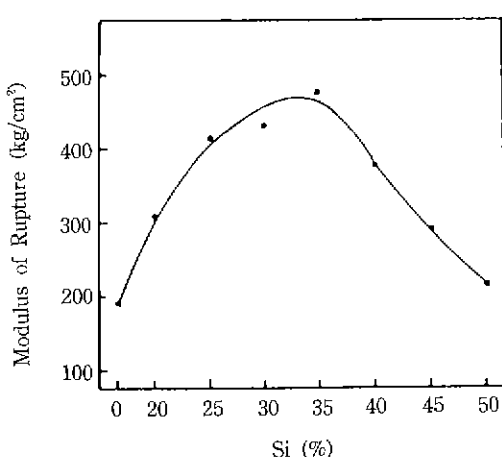


Fig. 5. MOR of the nitrified specimens.

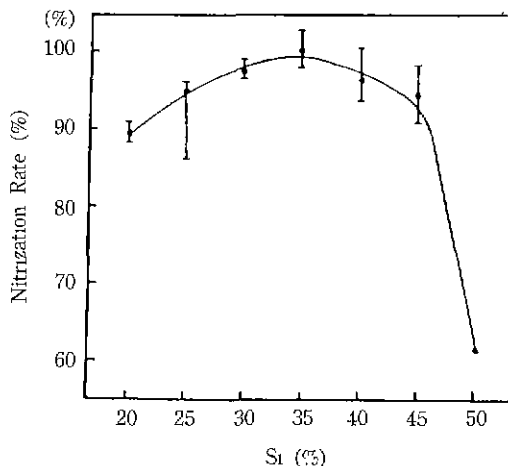


Fig. 6. Variation of nitration rate for the specimens at 1350°C which composed of carbonized kaolin and metallic silicon.

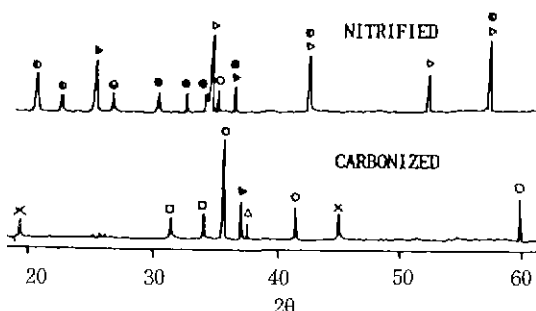


Fig. 7. X-ray diffraction patterns of carbonized kaolin at 1650°C and its nitrified specimen at 1350°C  
(○: β-SiC, □: Al<sub>4</sub>SiC<sub>4</sub> (27H), △: α-Al<sub>2</sub>O<sub>3</sub>, ×: unknown, ▲: Al<sub>4</sub>SiC<sub>4</sub> (B), ◉: α-Si<sub>3</sub>N<sub>4</sub>, ◆: β-Si<sub>3</sub>N<sub>4</sub>).

서 질화반응이 급격하게 일어나 이들이 서로 연결되어 Si나 N<sub>2</sub>의 확산이 어려워지므로 내부에서의 반응이 억제되기 때문이다<sup>24)</sup>. 반면 규소의 양이 적을 경우에는 kaolin 탄화물량이 상대적으로 많아지게 되므로 규소입자 주위의 kaolin 탄화물입자들이 규소의 질화반응을 억제하게 되므로 질화율이 낮아진다고 생각된다.

질화반응 시편들 중에는 질화율이 100% 이상인 것들도 있었다. 이를 확인하기 위하여 kaolin 탄화물만을 질화반응시킨 것과 질화반응을 시키지 않은 kaolin 탄화물의 X-선 회절분석결과를 비교하여 Fig. 7에 나타내었다.

이 결과를 보면 질화반응 과정에서 kaolin 탄화물 중의 Al<sub>4</sub>SiC<sub>4</sub>가 분해되어 α-Si<sub>3</sub>N<sub>4</sub>와 Al<sub>2</sub>O<sub>3</sub>를 생성하고 있음을 따라서 질화율이 100% 이상으로 나타날 수 있음을

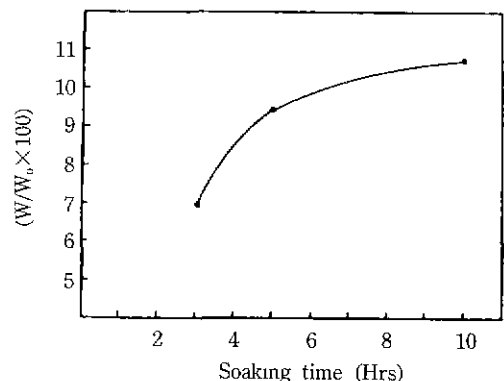


Fig. 8. Time dependence of oxidation resistance for the nitrified specimens.

확인하였다.

### 3.2.3. 산화 저항성

Kaolin 탄화물에 금속규소를 혼합하여 질화반응시킨 시료 중 기공률이 낮고 강도 및 질화율이 가장 높은 시편 (kaolin 탄화물 65%, 규소 35%)에 대하여 1000°C, 상압의 수증기분위기하에서 유지시간 변화에 따른 중량변화로 내산화성을 측정하였으며 그 결과를 Fig. 8에 나타내었다.

Fig. 8에서 보면 처음 5시간 동안에 산화가 급격히 일어난 후 산화속도가 현저히 감소되고 있다. 이는 시편 표면층에 산화층이 먼저 형성되어 이 산화물층이 내부의 산화속도를 억제하기 때문이라 생각된다.

### 3.2.4. 구성 광물상의 변화

Kaolin 탄화물에 금속규소를 혼합하여 1350°C에서 질화반응 소결한 시편들의 금속규소 첨가량의 변화에 따른 광물상 변화를 X-선 회절분석으로 비교하여 Fig. 9에, 또한 Si<sub>3</sub>N<sub>4</sub>의 α, β상의 변화 및 미반응 규소량의 변화를 Fig. 10에 각각 나타내었다.

Fig. 9 및 10에서 보면 규소량이 40 wt%까지는 α-Si<sub>3</sub>N<sub>4</sub>가 증가하고 있으나 45 wt%부터 서서히 감소하였고, β-Si<sub>3</sub>N<sub>4</sub>는 규소의 양이 20 wt%일 때 소량 생성되었으나 첨가량이 증가하면 계속 감소되고 있다. β-Si<sub>3</sub>N<sub>4</sub>는 일반적으로 액상이 존재할 때 용이하게 생성, 성장하며 또한 β-Si<sub>3</sub>N<sub>4</sub> 결정내에 α-Al<sub>2</sub>O<sub>3</sub>가 분산되면서 β-Si<sub>3</sub>N<sub>4</sub>는 더욱 안정하게 된다는 보고도 있다<sup>25,26)</sup>.

본 연구에서 규소의 양이 증가할 때 β-Si<sub>3</sub>N<sub>4</sub>의 양과 α-Al<sub>2</sub>O<sub>3</sub>의 양이 감소하는 것은 액상을 생성할 수 있는 불순성분의 양은 한정되어 있을 뿐 아니라 규소의 첨가량이 계속 증가하게 되어 결국 액상의 양은 상대적으로 감소될 것이며 따라서 β-Si<sub>3</sub>N<sub>4</sub>의 양도 감소되는 것으로 생각된다. Si<sub>2</sub>ON<sub>2</sub>는 소량 생성되었으나 규소의 양이 증

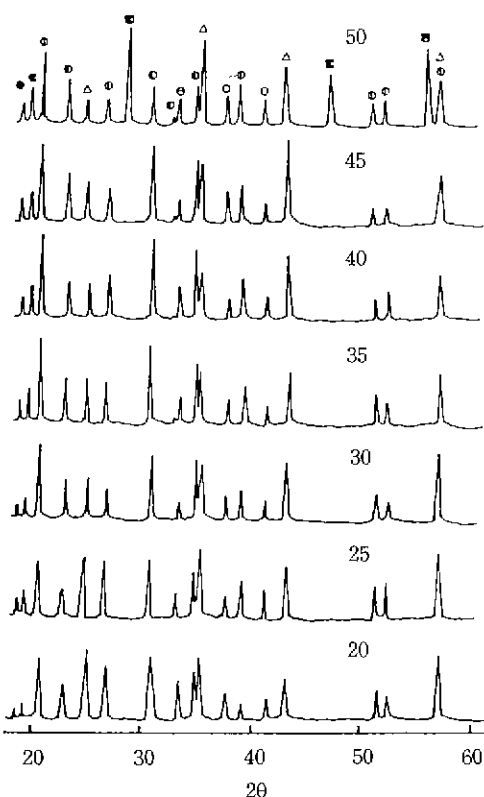


Fig. 9. Variation of synthesized minerals for the nitrified specimens.

○:  $\beta$ - $\text{SiC}$ , ◉:  $\alpha$ - $\text{Si}_3\text{N}_4$ , △:  $\alpha$ - $\text{Al}_2\text{O}_3$ , □: Si, ●:  $\alpha$ - $\text{Si}_3\text{N}_4$ , ⊗:  $\text{Si}_2\text{ON}_2$

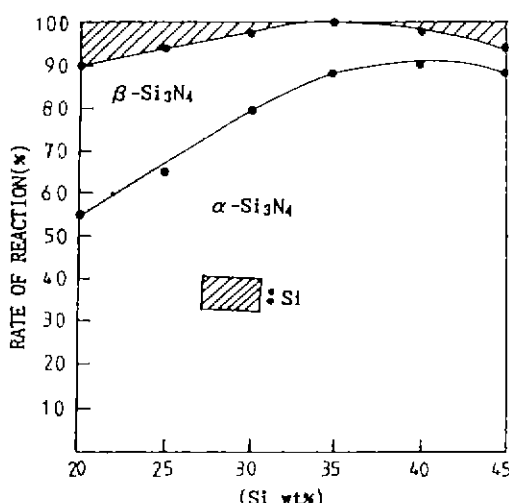


Fig. 10. Variation of  $\alpha$  and  $\beta$   $\text{Si}_3\text{N}_4$  for the nitrified specimens(Nitration temperature: 1350°C).

가함에 따라 대체적으로 증가하는 경향이 있다. 또한  $\beta$ -sialon은 규소 25 wt%일 때 소량 확인되었으나 Fig. 10에 나타내지 못할 정도이었다.

Kaolin 탄화물 중에 많이 존재하였던  $\text{Al}_4\text{SiC}_4$ 는 Fig. 6의 질화율에서도 확인된 것처럼 규소 20 wt%일 때부터 완전히 분해되어 없어졌으며 이 분해로 생성되었다고 생각되는  $\alpha$ - $\text{Al}_2\text{O}_3$ 의 양은 규소의 첨가량이 증가할수록 계속 감소하고 있다.

또한  $\text{Al}_2\text{O}_3$ 의 일부는 규소 25~30 wt%에서 소량 생성된  $\beta$ -sialon에 흡수되었다고 생각된다.

#### 4. 결 론

Raw kaolin, 산처리 kaolin 및 alkali 첨가 kaolin에 carbon black을 혼합하고 1300~1750°C에서 탄화반응시켰을 때의 결과를 1)~5)에, 1650°C에서 탄화시킨 kaolin 탄화물에 금속규소를 혼합한 후 1000 kg/cm<sup>2</sup>으로 성형, 암모니아와 질소의 혼합가스분위기하에서 1350°C로 질화반응시킨 결과를 6)~9)에 나타내었다.

1) mullite는 1300°C에서 이미 생성되었으며 반응온도 상승에 따라 크게 증가한 후 1600°C에서 급격히 감소되면서  $\alpha$ - $\text{SiC}$ 와  $\alpha$ - $\text{Al}_2\text{O}_3$ 를 증가시켰으며 이때  $\text{Al}_4\text{SiC}_4$ (27H)도 생성되고 있다.

2)  $\beta$ - $\text{SiC}$ 는 1500°C에서 생성되기 시작하였으며 1600°C까지는 크게 증가하였으나 그 이상 1750°C까지는 완만한 증가를 나타내고 있었다.

3)  $\text{Al}_4\text{SiC}_4$ 는 1600°C에서 생성되기 시작하여 반응온도 상승에 따라 크게 증가한 후 1750°C에서 거의 없어졌다.  $\text{Al}_4\text{SiC}_4$ 는 27H type에서 B type으로의 전이가 일어나고 있었다.

4) 산처리된 kaolin의 탄화반응에서는  $\beta$ - $\text{SiC}$ 의 생성이 적고  $\alpha$ - $\text{Al}_2\text{O}_3$ 가 증가하는 경향이 있었다.

5) kaolin에 alkali를 첨가하므로서 mullite의 분해온도를 약 100°C 저하시킬 수 있었으나  $\alpha$ - $\text{SiC}$ 가 증가하고 있었다.

6) 첨가된 규소의 양이 35 wt%일 때 꺾임강도 477 kg/cm<sup>2</sup>로 가장 양호한 특성을 나타내었다.

7) 질화반응율도 규소 35 wt% 첨가 때 가장 높으며 (100%) 그 이상 첨가되면 오히려 감소하고 있다.

8) Kaolin 탄화물 중에 존재하였던  $\text{Al}_4\text{SiC}_4$ 는 분해되면서  $\alpha$ - $\text{Si}_3\text{N}_4$ 와  $\alpha$ - $\text{Al}_2\text{O}_3$ 를 생성하였다.

9) 산화저항성을 살펴보면 처음 5시간 동안에 산화가 크게 일어났으나(약 9.5% 무게증가) 그 이상으로 되면 산화속도가 크게 감소하고 있다.

## 감사의 글

본 연구는 1989년도 문교부 첨단공학(신소재 분야) 학술연구조성비에 의하여 수행되었으며 이에 감사드립니다.

## REFERENCE

1. Stephen C. Danforth and Hare H. Richman, "Strength and Fracture Toughness of Reaction-Bonded  $\text{Si}_3\text{N}_4$ ," *Ceram. Bull.*, **62**(4), 501-504 (1983).
2. John A. Mangels and Gerald J. Tennenhouse, "Densification of Reaction-Bonded Silicon Nitride," *ibid.*, **58** (12), 1216-1218 (1980).
3. John A. Mangels, "Effect of Rate controlled Nitriding and Nitriding Atmospheres on the Formation of Reaction-Bonded  $\text{Si}_3\text{N}_4$ ," *ibid.*, **60**(6), 613-617 (1981).
4. A.J. Moulson, "Review: Reaction-Bonded Silicon Nitride," *J. Mater. Sci.*, **14**, 1017-1051 (1979).
5. Svante PROCHAZKA etc. "Strength of Boron-Doped, Hot-Pressed Silicon Carbide," *Ceramic Bulletin.*, **52** (12), 885-891 (1973).
6. Hidehiko TANAKA etc. "Strength of Hot-Pressed  $\text{SiC}$  by the Silicon Carbide," *Ceramic Bulletin.*, **52**(12), 885-891 (1973).
7. J.M. BIND and J.V. BIGGERS, "Hot-Pressing of Silicon Carbide with 1% Boron Carbide Addition," *J. Am. Ceram. Soc.*, **58**, 304-306 (1975).
8. William B. HILLIG etc. "Silicon/Silicon Carbide Composites," *Ceramic Bulletin.*, **54**(12), 1054-1056 (1975).
9. Teizo HASE etc. "Sinterability of Submicron  $\text{SiC}$  Prepared from Siliconization of Carbon Black under Presence of Al Additives," *Yogyo-Kyokai-Shi*, **87**(11), 576-582 (1979).
10. Teizo HASE etc. "Initial stage Sintering of  $\beta\text{-SiC}$  with Concurrent Boron and Carbon Additions," *Yogyo-Kyokai-Shi*, **88**(5), 258-264 (1980).
11. KAWAGUCHI etc. "The Property of Fine  $\beta\text{-SiC}$  Powder," *Refractories*, **35**(6), 319-321 (1983).
12. W. BOCKER etc. "The Influence of Boron and Carbon Additives on the Microstructure of Sintered Alpha Silicon Carbide," *Powder metallurgy International*, **10** (2), 87-89 (1978).
13. J.T. Konyenborg and J. Larr, "Silicon Carbide-A New Materials the Blast Furnace Stack," *Iron Steel Engeer*, **6**, 57-60 (1976).
14. R.H. Herron and K.A. Babb, "Refractories for the Blastfurnace Bosh," *Cern. Bull.*, **54**(7), 654-656 (1975).
15. V.K. Kazakov, "Refractory Materials Based on Silicon Carbide and Nonmetallic Nitrides," *Silicon Carbide by I.N. Frantsevich*, 83-93 (1970).
16. LM. Matveva, M.L. Blyustein, D.I. Amel'kovich, N.I. Krastkins, M.S. Fraufeld, "Silicon Nitride Bound Carbide Refractories for Side Linings of Aluminum Electrolyzer," *ibid.*, 106-112.
17. P. Longland, A.J. Moulson, "The Growth of  $\beta\text{-Si}_3\text{N}_4$  accompanying the Nitridation of Silicon Powder Compacts," *J. Mater. Sci.*, **13**(10), 2279-2280 (1978).
18. N.L. Parr, E.R.W. May, "The Technology and Engineering Application of Reaction-Bonded  $\text{Si}_3\text{N}_4$ ," *Proc. Brit. Ceram. Soc.*, **7**, 81-93 (1967).
19. Malcome E. Washburn, Robert W. Love, "A Silicon Carbide Refractory with a Complex Nitride Bond Containing Silicon Oxynitride," *Bull Amer Ceram. Soc.*, **104**, pp. 640-644 (1957).
20. W.M. Dawson, A.J. Moulson, "The Combined Effect of Fe and  $\text{H}_2$  on the Kinetics of Silicon Nitridation," *J. Mater. Sci.*, **13**(10), 2289-2290 (1978).
21. H. Derishgovic, F.L. Riley, "The influence of Iron and Hydrogen in the Nitridation of Silicon," *J. Mater. Sci.*, **14**(5), 1265-1268 (1979).
22. J.A. Mangels, "Effect of  $\text{H}_2\text{-N}_2$  Nitriding Atmosphere on the Properties of Reaction Sintered  $\text{Si}_3\text{N}_4$ ," *J. Am. Ceram. Soc.*, **14**(5), 1265-1268 (1979).
23. M.W. Lindly, D.P. Elias, B.F. Johns, K.C. Pitman, "The Influence of Hydrogen in the Nitriding Gas on the Strength, Structure and Composition of Reaction-Sintered Silicon Nitride," *ibid.*, **14**(1), 70-85 (1979).
24. A. Atkinson, A.J. Moulson, E.W. Roberts, "Nitridation of High-Purity Silicon," *J. Amer. Ceram. Soc.*, **59**, 225-227 (1976).
25. G.R. Terwilliger and F.F. Lange, "Pressureless Sintering of  $\text{Si}_3\text{N}_4$ ," *J. Mater. Sci.*, **10**, 1169-1174 (1975).
26. D.J. Rowcliffe and P.J. Jorgensen, "Sintering of Silicon Nitride," Workshop on Ceramics for Advanced Heat Engines, 191-196 (1977).